

05.2;07;08

©1994

## ФОТОАКУСТИЧЕСКАЯ СПЕКТРОСКОПИЯ ПОРИСТОГО КРЕМНИЯ

*М.С.Бродин, И.В.Блонский, В.А.Тхорик*

Необычным свойством пористого кремния (рог.-Si) является его интенсивная люминесценция в желто-красном диапазоне спектра [1]. Природа этой яркой аномалии до сих пор не установлена, хотя на этот счет уже предложено несколько гипотез:

1) модификация структуры электронных зон вследствие проявления размерного эффекта в кремниевых квантовых проволоках, образующихся в результате селективного травления кремния [2];

2) образование при травлении нового соединения  $\text{Si}_6\text{O}_3\text{H}_6$  (силоксена), спектр излучения которого достаточно широк (1.0–2.6 эВ) и захватывает энергетическую область 1.4–1.9 эВ, в которой сосредоточено излучение рог.-Si [3];

3) перенормировка энергетического спектра электронов и дырок в рог.-Si электрон-фононным взаимодействием, которое также чувствительно к размерному эффекту [4].

Для обоснования каждого из отмеченных механизмов чрезвычайно важным представляется установление положения фундаментального края поглощения рог.-Si относительно его люминесцентной полосы. Решить эту задачу с помощью традиционных методов адсорбционной спектроскопии сложно, по крайней мере, по двум причинам:

а) из-за того, что исследуемые образцы представляют собой двухслойную среду с различными характеристиками (тонкий слой рог.-Si находится в естественном контакте с более толстым слоем монолитного монокристаллического Si);

б) из-за большого вклада в общую экстинкцию диффузного рассеяния света в пористой среде.

В последние годы для изучения оптических и термоупругих свойств светорассеивающих, многослойных и других неоднородных сред все более широкое распространение получают новые методы, основанные на фотоакустическом (ФА) эффекте [5]. Суть эффекта состоит в генерации акустических волн в исследуемом объекте и окружающем его газе в результате поглощения промодулированного по интенсивности излучения. Исследования ФА эффекта часто производят

дят с использованием специальной ячейки, представляющей собой заполненную газом замкнутую камеру с оптическим окном, внутри которой находится исследуемый образец. Регистрация ФА сигнала производится с помощью вмонтированного в ячейку микрофона, мембрана которого испытывает периодические возмущения со стороны газового поршня, образующегося в результате теплообмена между нагретым образцом и газовой средой ячейки. Регистрируемыми величинами при этом являются амплитуда  $U$  и фаза  $\varphi$  сигнала. Величина  $U$  отображает эффективность преобразования поглощенной энергии в тепловую, а  $\varphi$  — запаздывание ФА сигнала, определяемое временем релаксации температуры перегрева, временем тепловой диффузии и инерционностью измерительной аппаратуры.

В настоящей работе впервые исследованы зависимости ФА отклика рог.-Si от частоты модуляции света  $\omega = 2\pi f$  и длины волн возбуждения  $\lambda$ , которые позволили определить спектральное распределение коэффициента поглощения  $\alpha(\lambda)$  вблизи желто-красной полосы излучения рог.-Si и сравнить его тепловые характеристики с аналогичными в монолитном Si. В основе предлагаемого метода определения края поглощения рог.-Si лежит факт изменения фазы  $\varphi$  и амплитуды  $U$  ФА отклика вследствие трансформации зоны тепловыделения при переходе из области прозрачности рог.-Si в область сильного поглощения.

Измерения выполнены при комнатной температуре на изготовленном нами ФА спектрометре с газомикрофонным способом регистрации сигнала для трех типов образцов одинаковой толщины (500 мкм). Образцы первого типа (тестовые) представляли собой плоскопараллельные монокристаллические пластинки Si, а два других — пластины со слоями рог.-Si различной толщины ( $h = 5$  и 50 мкм). Образцы рог.-Si были получены методом анодного селективного травления авторами [8].

На рис. 1 приведены частотные зависимости амплитуды  $U$  и фазы  $\varphi$  ФА отклика для трех типов образцов, измеренные на длине волны  $\lambda = 632.8$  нм. Как видно, зависимости  $U(f)$  и  $\varphi(f)$  для однородной по структуре пластины Si и пластины с пятимикронным слоем рог.-Si практически неразличимы, в то время как для образца с толщиной пористого слоя 50 мкм различие весьма велико. Причину этого легко понять в рамках модели формирования ФА отклика в двухслойной среде, предполагая, что при  $\lambda = 632.8$  нм пористый слой является слабопоглощающим. Тогда очевидно, что в тестовом образце тепловыделение происходит в тонком поверхностном слое толщиной  $L$ , определяемой обратным значением коэффициента поглощения на длине волны 632.8 нм. В образце с пористым слоем источник тепла локализован

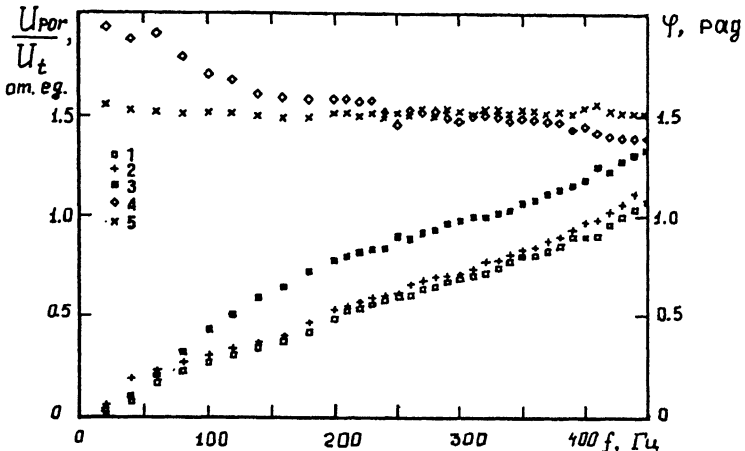


Рис. 1. Частотные зависимости: 1, 3 — фазы  $\varphi(f)$  ФА отклика тестового образца, образцов с пяти- и пятидесятимикронными слоями рог.-Si соответственно; 4, 5 — отношение амплитуд ФА отклика рог.-Si;  $U_{\text{пор.}}$  к амплитуде ФА сигнала в тестовом образце  $U_t$  для рог.-Si с толщинами слоев 5 и 50 мкм соответственно.

уже на границе раздела пористый — монолитный кремний. Фазовый сдвиг  $\Delta\varphi$  ФА отклика в этом случае будет определяться задержкой тепловой волны, распространяющейся через пористый слой, и ожидается тем большим, чем больше толщина пористого слоя  $h$  и сильнее выражены различия тепловых свойств монолитного и рог.-Si. Последнее следует из зависимости длины тепловой волны  $l$  от коэффициента температуропроводности  $D$ :  $l = (2D/\infty)^{1/2}$ .

Сказанное объясняет причину различий зависимостей  $U(f)$  и  $\varphi(f)$  в образцах с 5- и 50-микронными слоями рог.-Si, и указывает на то, что в выбранном диапазоне изменений  $\omega$  перспективными для ФА спектроскопии являются образцы с толщиной пористого слоя  $h > 5$  мкм. Используя приведенные на рис. 1 фазочастотные характеристики и выводы модифицированной на случай двухслойной среды теории [6] мы оценили величину  $D_{\text{пор.}}$  для пористого слоя, оказавшуюся равной  $0.04 \text{ см}^2/\text{с}$ . Для сравнения отметим, что по данным [7] значение этого же параметра для монолитного Si составляет  $0.9 \text{ см}^2/\text{с}$ . Следует, однако, заметить, что для рог.-Si величина  $D_{\text{пор.}}$  зависит от степени пористости и не является универсальной характеристикой вещества. Пористость исследуемых нами образцов составляла 40%. Более подробно вопрос о различии тепловых свойств монолитного и рог.-Si мы предполагаем обсудить в дальнейшем.

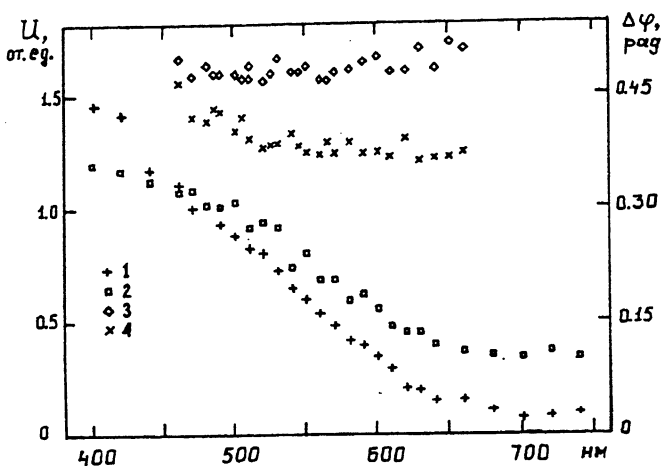


Рис. 2. Зависимости от длины волны возбуждения  $\lambda$  амплитуды  $U(\lambda)$  (1, 4) и сдвига фаз  $\Delta\varphi(\lambda)$  (2, 3) ФА отклика в рог.-Si с толщинами пористого слоя  $h = 5(3, 4)$  и  $50(1, 2)$  мкм.

На рис. 2 изображены спектральные зависимости величин  $U$  и  $\varphi$  ФА сигнала. Из него видно, что для образца с тонким пористым слоем ( $h = 5$  мкм) ФА спектр гладкий без выраженных особенностей. Этого и следовало ожидать, так как при  $f = 120$  Гц пористый слой является термически тонким (при  $f = 120$  Гц  $l = 103$  мкм, то есть  $l \gg h$ ). В то же время зависимости  $U(\lambda)$  и  $\varphi(\lambda)$  обладают особенностями в образце с 50-микронным пористым слоем, для которого  $l \cong h$ . Речь идет о резком возрастании амплитуды и фазы ФА сигнала с уменьшением длины волны, начиная с  $\lambda = 627$  нм. Так как зависимости  $U(\lambda)$  и  $\varphi(\lambda)$  получены при фиксированном значении частоты модуляции  $f = 120$  Гц, то это возрастание может быть обусловлено только пространственным изменением зоны тепловыделения, которая при уменьшении длины волны возбуждения смещается от границы раздела пористого и монолитного слоев к внешней поверхности пористого слоя. Последнее возможно только при увеличении в этой же области коэффициента поглощения света.

Таким образом, полученные результаты и их анализ позволяют сделать вывод о том, что в образце рог.-Si ( $h = 50$  мкм) зависимости  $U(\lambda)$  и  $\varphi(\lambda)$  отражают фундаментальную характеристику  $\alpha(\lambda)$  пористого слоя. Измеренное нами положение края поглощения согласуется с результатами работы [2] по спектральному распределению коэффициента экстинкции в таких материалах и положением ко-

ротковолнового крыла известной полосы излучения рог.-Si с максимумом 720 нм.

Работа выполнена при поддержке Государственного комитета Украины по науке и технологиям в рамках программы 7.1 "Материалы электронной техники".

### Список литературы

- [1] *Cancham L.T.* // Appl. Phys. Lett. 1990. V. 57. P. 16.
- [2] *Lechmann A., Gosele U.* // Appl. Phys. Lett. 1991. V. 58. P. 856.
- [3] *Brandt M.S. Fuchs H.D., Stutzman M. et al.* // Sol. St. Commun. 1992. V. 81. P. 307.
- [4] *Murayama K.S., Miyazaki S.M., Hirose M.* // Jap. J. Appl. Phys. 1992. V. 31. L1358.
- [5] *Гулляев Ю.В., Арбачев А.К., Морозов А.М. и др.* // ДАН СССР. 1988. Т. 302. С. 89.
- [6] *Rosenzwaig A., Gersho A.* // J. Appl. Phys. 1976. V. 47. P. 46.
- [7] *Блистанов А.А., Бондаренко В.С., Переломова Н.В.* Акустические кристаллы. М., 1982. С. 632.
- [8] *Бондаренко В.П. и др.* // Тез. докл. 1 Российской конф. по физике полупроводников. Нижн. Новгород, 10–14 сентября, 1993 г. Т. 2. С. 260.

Институт физики  
АН Украины  
Киев

Поступило в Редакцию  
30 апреля 1994 г.